

## ASPEK KINETIKA REAKSI KERNEL U<sub>3</sub>O<sub>8</sub> DENGAN GAS H<sub>2</sub> TERHADAP KARAKTERISTIK ENERGI AKTIVASI, KONSTANTA LAJU REAKSI DAN RASIO O/U KERNEL UO<sub>2</sub>

Damunir

Pusat Teknologi Akselerator dan Proses Bahan – BATAN  
Jl. Babarsari, Kotak Pos 1008, Yogyakarta 55010

### ABSTRAK

**ASPEK KINETIKA REAKSI KERNEL U<sub>3</sub>O<sub>8</sub> DENGAN GAS H<sub>2</sub> TERHADAP KARAKTERISTIK ENERGI AKTIVASI, KONSTANTA LAJU REAKSI DAN RASIO O/U KERNEL UO<sub>2</sub>.** Aspek kinetika reaksi kernel U<sub>3</sub>O<sub>8</sub> dengan gas H<sub>2</sub> terhadap karakteristik energi aktivasi, konstanta laju reaksi dan rasio O/U kernel UO<sub>2</sub> telah dipelajari. Kernel U<sub>3</sub>O<sub>8</sub> direaksikan dengan gas H<sub>2</sub> di dalam reduktor dengan variasi suhu dan waktu reaksi. Suhu reaksi divariasi pada suhu 600, 700, 750, 800 dan 850 °C dengan tekanan 50 mmHg selama 3 jam dalam media gas N<sub>2</sub>. Waktu reaksi divariasi selama 1, 2, 3 dan 4 jam pada suhu 750 °C dengan kondisi yang sama. Hasil reaksinya adalah kernel UO<sub>2</sub>. Aspek kinetika reaksi antara kernel U<sub>3</sub>O<sub>8</sub> dengan gas H<sub>2</sub> di atas meliputi karakterisasi energi aktivasi minimum ( $\Delta E$ ), konstanta laju reaksi dan rasio O/U kernel UO<sub>2</sub>. Energi aktivasi minimum ditentukan dari koefisien arah garis lurus dari persamaan  $\ln [\{D_b \cdot R_o\} \cdot \{1 - (1 - X_b)^{1/3}\} / b \cdot t \cdot C_g] = -3,9406 \times 10^3 / T + 4,044$  yang diperoleh. Dengan mengalikan koefisien arah sebesar  $-3,9406 \times 10^3$ , tetapan gas ideal (R) sebesar 1,985 kal/mol dan perbedaan molaritas koefisien reaksi sebesar 2, diperoleh energi aktivasi minimum ( $\Delta E$ ) sebesar 15,644 kkal/mol. Konstanta laju reaksi ( $k_s$ ) ditentukan menggunakan persamaan kontrol reaksi kimia berorde satu dan persamaan Arrhenius, sedangkan rasio O/U ditentukan dengan metode gravimetri. Hasil analisis konstanta laju reaksi ( $k_s$ ) dengan persamaan kontrol reaksi kimia adalah  $0,775 - 1,671 \text{ det}^{-1}$  dan persamaan Arrhenius pada suhu 650 – 850 °C sebesar  $0,674 - 2,914 \text{ det}^{-1}$ . Rasio O/U pada setiap perubahan konstanta laju reaksi tersebut sebesar  $2,03 - 2,014$  dan rasio O/U pada perubahan waktu reaksi 1 – 4 jam sebesar  $2,04 - 2,014$ . Hasil percobaan menunjukkan bahwa energi aktivasi minimum berpengaruh pada konstanta laju reaksi berorde satu dan rasio O/U kernel UO<sub>2</sub>. Kondisi optimum adalah pada konstanta laju reaksi  $1,43 \text{ det}^{-1}$ , rasio O/U kernel UO<sub>2</sub> 2,01 pada suhu 750 °C dan waktu reaksi 3 jam. Kernel UO<sub>2</sub> yang dihasilkan berbentuk bulat, tidak retak dan memiliki mikrostruktur yang halus.

KATA KUNCI: Kinetika reaksi, Energi aktivasi minimum, Konstanta laju reaksi, Persamaan kontrol reaksi kimia, Kernel U<sub>3</sub>O<sub>8</sub>, Kernel UO<sub>2</sub>

### ABSTRACT

**REACTION KINETICS ASPECT OF U<sub>3</sub>O<sub>8</sub> KERNEL WITH GAS H<sub>2</sub> ON THE CHARACTERISTICS OF ACTIVATION ENERGY, REACTION RATE CONSTANT AND O/U RATIO OF UO<sub>2</sub> KERNEL.** The reaction kinetics aspect of U<sub>3</sub>O<sub>8</sub> kernel with gas H<sub>2</sub> on the characteristics of activation energy, reaction rate constant and O/U ratio of UO<sub>2</sub> kernel had been studied. U<sub>3</sub>O<sub>8</sub> kernel was reacted with gas H<sub>2</sub> in a reduction furnace at varied reaction time and temperature. The reaction temperature was varied at 600, 700,

750 and 850 °C with a pressure of 50 mmHg for 3 hours in gas N<sub>2</sub> atmosphere. The reaction time was varied at 1,2,3 and 4 hours at a temperature of 750 °C using similar conditions. The reaction product was UO<sub>2</sub> kernel. The reaction kinetic aspect between U<sub>3</sub>O<sub>8</sub> and gas H<sub>2</sub> comprised the minimum activation energy ( $\Delta E$ ), the reaction rate constant and the O/U ratio of UO<sub>2</sub> kernel. The minimum activation energy was determined from a straight line slope of equation  $\ln \left[ \{D_b \cdot R_o \cdot (1 - (1 - X_b)^{1/3})\} / (b \cdot t \cdot C_g) \right] = -3.9406 \times 10^3 / T + 4.044$ . By multiplying with the straight line slope  $-3.9406 \times 10^3$ , the ideal gas constant (R) 1.985 cal/mol and the molarity difference of reaction coefficient 2, a minimum activation energy of 15.644 kcal/mol was obtained. The reaction rate constant was determined from first-order chemical reaction control and Arrhenius equation. The O/U ratio of UO<sub>2</sub> kernel was obtained using gravimetric method. The analysis result of reaction rate constant with chemical reaction control equation yielded reaction rate constants of 0.745 – 1.671 s<sup>-1</sup> and the Arrhenius equation at temperatures of 650 – 850 °C yielded reaction rate constants of 0.637 – 2.914 s<sup>-1</sup>. The O/U ratios of UO<sub>2</sub> kernel at the respective reaction rate constants were 2.013 – 2.014 and the O/U ratios at reaction time 1 – 4 hours were 2.04 – 2.011. The experiment results indicated that the minimum activation energy influenced the rate constant of first-order reaction and the O/U ratio of UO<sub>2</sub> kernel. The optimum condition was obtained at reaction rate constant of 1.43 s<sup>-1</sup>, O/U ratio of UO<sub>2</sub> kernel of 2.01 at temperature of 750 °C and reaction time of 3 hours. The UO<sub>2</sub> kernel produced was spherical, did not crack and had fine microstructure.

FREE TERMS: Reaction kinetics, Minimum activation energy, Reaction rate constant, Chemical reaction control equation, U<sub>3</sub>O<sub>8</sub> kernel, UO<sub>2</sub> kernel

## I. PENDAHULUAN

Bahan bakar reaktor suhu tinggi berbentuk bola terdiri dari kernel uranium dioksida (UO<sub>2</sub>) sebagai inti yang dilapisi oleh pirolitik karbida (PyC) dan silika karbida (SiC). Kernel UO<sub>2</sub> dapat dibuat dengan proses gelasi eksternal melalui beberapa tahapan. Salah satu tahapannya adalah melalui reaksi antara kernel U<sub>3</sub>O<sub>8</sub> sebagai fasa padat dengan gas H<sub>2</sub> dalam media gas N<sub>2</sub> pada suhu tinggi yang dikenal sebagai proses reduksi<sup>[1,2]</sup>.

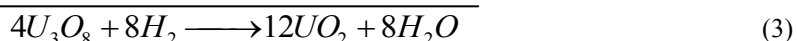
Dari aspek kinetika reaksi antara kernel U<sub>3</sub>O<sub>8</sub> sebagai fasa padat dengan gas hidrogen sebagai kontrol reaksi kimia berorde satu adalah reaksi satu arah (*irreversible*) dan bersifat endotermik. Pada reaksi ini diperlukan energi untuk mendorong difusi gas hidrogen ke dalam padatan agar reaksinya dapat berlangsung dengan menghasilkan kernel UO<sub>2</sub>, di antaranya adalah energi aktivasi minimum ( $\Delta E$ ). Ada beberapa faktor yang mempengaruhi besarnya energi aktivasi minimum pada reaksi di atas, antara lain suhu, waktu reaksi dan konsentrasi reaktan (kernel U<sub>3</sub>O<sub>8</sub> dan gas H<sub>2</sub>). Besarnya energi aktivasi minimum pada setiap perubahan suhu akan mempengaruhi harga konstanta laju reaksi ( $k_s$ ) dan rasio O/U pada kernel UO<sub>2</sub>. Semakin besar suhu reaksi, semakin besar harga  $k_s$  dan semakin kecil harga rasio O/U tersebut. Perubahan waktu reaksi pada  $\Delta E$ ,  $k_s$ , suhu dan tekanan gas H<sub>2</sub> tetap juga dapat mempengaruhi kesempurnaan reaksi. Semakin lama waktu kontak, semakin sempurna reaksi dan semakin kecil rasio O/U pada kernel UO<sub>2</sub><sup>[3,4]</sup>.

Tujuan penelitian ini adalah mempelajari aspek kinetika reaksi kernel U<sub>3</sub>O<sub>8</sub> dengan gas H<sub>2</sub> terhadap karakteristik energi aktivasi minimum, konstanta laju reaksi dan rasio O/U kernel UO<sub>2</sub> hasil reaksi dengan variasi suhu dan waktu reaksi pada tekanan tetap

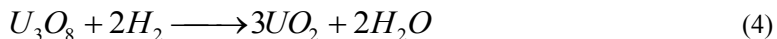
## II. TEORI

Dari aspek kinetika, reaksi antara kernel U<sub>3</sub>O<sub>8</sub> sebagai fasa padat dengan gas H<sub>2</sub> dalam media gas N<sub>2</sub> adalah reaksi satu arah (*irreversible*) dan bersifat endotermik berorde satu. Reaksi ini dilakukan pada suhu tinggi dengan kondisi vakum di dalam tungku reduksi. Sebelum reaksi, gas oksigen atau udara dalam reduktor dikeluarkan dengan mengalirkan gas N<sub>2</sub> pada tekanan tertentu. Hal ini dikarenakan gas oksigen dapat bereaksi dengan gas H<sub>2</sub> membentuk molekul H<sub>2</sub>O sehingga kemampuan gas H<sub>2</sub> untuk mereduksi kernel U<sub>3</sub>O<sub>8</sub> menjadi kernel UO<sub>2</sub> berkurang dan proses reduksi tidak sempurna.

Proses reduksi di atas terdiri dari dua tahapan. Pada tahap pertama, terjadi reaksi antara molekul U<sub>3</sub>O<sub>8</sub> dengan gas hidrogen menjadi molekul U<sub>4</sub>O<sub>9</sub> di permukaan padatan. Laju reaksinya sebanding dengan konsentrasi hidrogen dan oksigen di permukaan kernel oksida uranium, diikuti perubahan struktur kristal U<sub>3</sub>O<sub>8</sub> dan terbentuknya struktur kristal U<sub>4</sub>O<sub>9</sub>. Pada tahap kedua, terjadi perubahan molekul U<sub>4</sub>O<sub>9</sub> menjadi molekul UO<sub>2</sub>. Pada tahap ini, reaksi terjadi pada bagian tengah partikel tetapi tidak terjadi perubahan besar pada struktur kristal oksida uranium tersebut. Mekanisme reaksi antara kernel U<sub>3</sub>O<sub>8</sub> dengan gas H<sub>2</sub> dalam media N<sub>2</sub> adalah sebagai berikut.



atau



Agar reaksi dapat berlangsung, diperlukan energi aktivasi minimum untuk mendorong gas H<sub>2</sub> masuk ke dalam padatan dan bereaksi dengan molekul U<sub>3</sub>O<sub>8</sub>. Laju reaksi antara kernel U<sub>3</sub>O<sub>8</sub> dengan gas H<sub>2</sub> ditentukan oleh kontrol reaksi kimia berorde satu, seperti ditunjukkan pada persamaan berikut.

$$\begin{aligned} \text{Laju reaksi} = & -\frac{1}{S_{ext}} \frac{dC_b}{dt} = bk_s C_g \\ & -\frac{1}{4\pi r^2} \frac{D_b d(V_b)}{dt} = bk_s C_g \\ & -\frac{1}{4\pi r^2} \frac{D_b d(\frac{4}{3}\pi r^3)}{dt} = bk_s C_g \\ & -\frac{1}{4\pi r^2} \frac{D_b 4\pi r^2 dr}{dt} = bk_s C_g \\ & -\frac{D_b dr}{dt} = bk_s C_g \\ & -\int_{R_0}^r dr = \frac{bk_s C_g}{D_b} \int_0^t dt \end{aligned} \quad (5)$$

$$\begin{aligned}-r|_{R_0}^r &= \frac{bk_s C_g}{D_b} \Big|_0^t \\ -\left(r - R_0\right) &= \frac{bk_s C_g}{D_b} (t - 0) \\ R_0(1 - r/R_0) &= \frac{bk_s C_g t}{D_b}\end{aligned}$$

Dari pustaka<sup>[6]</sup> diketahui:

$$\frac{r}{R_0} = (1 - X_b)^{1/3}$$

Jadi diperoleh:

$$k_s = \frac{D_b R_0 \left\{ 1 - (1 - X_b)^{1/3} \right\}}{btC_g} \quad (6)$$

Energi aktivasi dapat ditentukan dari hubungan antara suhu dengan konstanta laju reaksi dengan menggunakan persamaan Arrhenius:

$$k = A e^{-\Delta E / RT} \quad (7)$$

dimana A dan R merupakan konstanta, dan  $\Delta E$  adalah energi. Dari substitusi  $k_s$  ke dalam persamaan (7), diperoleh:

$$\frac{D_b R_0 \left\{ 1 - (1 - X_b)^{1/3} \right\}}{btC_g} = A e^{-\Delta E / RT} \quad (8)$$

Dengan mengubah persamaan (8) ke dalam bentuk logaritme natural diperoleh persamaan garis lurus:

$$\ln \left[ \frac{D_b R_0 \left\{ 1 - (1 - X_b)^{1/3} \right\}}{btC_g} \right] = \ln A - \Delta E / RT \quad (9)$$

dimana	$S_{ext}$	= luas permukaan butiran padatan ( $\text{cm}^2$ )
	$D_b$	= densitas kernel $\text{U}_3\text{O}_8$ ( $\text{g}/\text{cm}^3$ )
	$R_0$	= jari-jari butiran kernel $\text{UO}_2$ (cm)
	$b$	= koefisien reaksi pada kernel $\text{U}_3\text{O}_8$ untuk satu mol gas $\text{H}_2$ , $b = 0,5$
	$t$	= waktu reduksi (jam atau detik)
	$C_g$	= konsentrasi gas $\text{H}_2 = \frac{7,994 \times 10^{-4}}{\text{T} + 273}$ ( $\text{mol}/\text{cm}^3$ )
	$C_b$	= $\rho$ (mol $\text{b}/\text{cm}^3$ padatan) $\times V$ ( $\text{cm}^3$ padatan)

$$X_b = \frac{\text{massa awal} - \text{massa akhir}}{\text{massa awal}} = \frac{m_0 - m}{m_0} \quad (11)$$

$$T = T (\text{ }^{\circ}\text{C}) + 273 \text{ K} \quad (12)$$

$$\begin{aligned} R &= \text{tetapan gas ideal sebesar } 1,985 \text{ kal/mol K} \\ k_s &= \text{konstanta laju reaksi (det}^{-1}\text{)} \end{aligned} \quad (13)$$

Dengan menggambarkan kurva fungsi 1/T sebagai sumbu-X versus fungsi ln [ D<sub>b</sub>R<sub>o</sub> {1 - (1 - X<sub>b</sub>)<sup>1/3</sup>} / (b t C<sub>g</sub>) ] sebagai sumbu-Y, dihasilkan persamaan garis lurus Y = μX + Q dengan koefisien regresi 0 < R < 1. Jika dikonversi ke persamaan (9), diperoleh garis lurus ln [D<sub>b</sub> R<sub>o</sub> {1 - (1 - X<sub>b</sub>)<sup>1/3</sup>} / (b. t. C<sub>g</sub>)] = μ (1/T) + Q. Dari persamaan garis lurus ini dapat ditentukan besarnya energi aktivasi minimum yang dibutuhkan pada reaksi antara kernel U<sub>3</sub>O<sub>8</sub> sebagai fasa padat dengan gas H<sub>2</sub> melalui koefisien arah μ = -ΔE/R. Pada reaksi (4) di atas terjadi perubahan koefisien molaritas dari molekul yang bereaksi dengan hasil reaksi sebesar Δn = (3+2) - (1+2) = 2, sehingga besar energi aktivasi ΔE = (-μ × R × Δn). Dari intersep Q = ln A dengan A = e<sup>Q/Δn</sup>. Konstanta laju reaksi ditentukan menggunakan persamaan (6) dan (7)<sup>[5-8]</sup>.

Komposisi molekul uranium dioksida (UO<sub>2+x</sub>) hasil reaksi dapat ditentukan dari perbandingan (rasio) O/U dengan metode gravimetri. Metode ini didasarkan pada proses oksidasi kernel UO<sub>2</sub> pada suhu 800 – 900 °C selama 3 jam menjadi kernel U<sub>3</sub>O<sub>8</sub><sup>[9]</sup>.



Misalkan berat UO<sub>2+x</sub> = a, dan berat U<sub>3</sub>O<sub>8</sub> hasil oksidasi = w, maka:

$$\text{Berat uranium dalam U}_3\text{O}_8 = \frac{3 \times \text{BA U} \times w}{\text{BM U}_3\text{O}_8} = \frac{3 \times 238,07 \times w}{(3 \times 238,07 + 8 \times 16)} = 0,848 \times w$$

Berat uranium dalam UO<sub>2+x</sub> sama dengan berat uranium dalam U<sub>3</sub>O<sub>8</sub> = 0,848 × w, sedangkan berat oksigen dalam UO<sub>2+x</sub> = (a - 0,848 × w)

$$\text{Rasio O/U} = \frac{[a - (0,848 \times w)] / \text{BA O}}{[(0,848 \times w) / \text{BA U}]} \quad (15)$$

(BA O = Berat atom oksigen = 16 g/mol; dan BA U = Berat atom uranium = 238,07 g/mol)

### III. TATA KERJA

#### 3.1. Bahan

Kernel U<sub>3</sub>O<sub>8</sub> berfungsi sebagai umpan reduksi yang berasal dari hasil kalsinasi gel pada 800 °C dalam medium udara, sedangkan gel adalah hasil proses gelasi eksternal emulsifikasi Nukem. Kernel U<sub>3</sub>O<sub>8</sub> mempunyai densitas sebesar 6,16 g/cm<sup>3</sup> dan diameter butir rata-rata sebesar 1,294 cm serta diameter pori sebesar 0,46 µm. Gas H<sub>2</sub> berfungsi sebagai reduktor dan gas N<sub>2</sub> sebagai medium pada reaksi antara kernel U<sub>3</sub>O<sub>8</sub> dengan gas H<sub>2</sub>.

#### 3.2. Alat

Alat kalsinator berupa tungku pemanas berfungsi sebagai alat kalsinasi gel menjadi kernel U<sub>3</sub>O<sub>8</sub> dalam medium udara. Seperangkat alat reduktor berupa tungku reduksi berfungsi untuk mereduksi kernel U<sub>3</sub>O<sub>8</sub> dengan gas H<sub>2</sub> dalam media N<sub>2</sub> pada suhu tinggi menjadi kernel

$\text{UO}_2$ . Seperangkat alat mikroskop optik tipe 150 *year* digunakan untuk mengamati dan mengambil gambar bentuk kernel oksida uranium. Seperangkat alat spektroskopis *Scanning Electron Microscopy* (SEM) digunakan untuk mengamati dan mengambil gambar bentuk struktur permukaan (topografi) dari kernel oksida uranium.

### 3.3. Cara Kerja

Kernel  $\text{U}_3\text{O}_8$  yang telah diketahui berat ( $m_o$ ), densitas ( $D_b$ ) dan jari-jari butiran ( $R_o$ ) dimasukkan ke dalam cawan platina dan diletakkan di atas pelat *inconel*, lalu dimasukkan ke dalam tungku reduksi. Tungku reduksi dinyalakan sampai suhu menunjukkan 650 °C sambil mengalirkan gas  $\text{N}_2$  untuk menghilangkan udara di dalam reduktor. Setelah itu, gas  $\text{H}_2$  dialirkan pada tekanan 50 mmHg selama 3 jam pada suhu yang sama sehingga bereaksi dengan kernel  $\text{U}_3\text{O}_8$  menghasilkan kernel  $\text{UO}_2$ . Setelah selesai, percobaan diulang untuk suhu 700, 750, 800 dan 850 °C. Selain suhu reaksi, juga dipelajari pengaruh waktu reduksi yaitu 1, 2, 3 dan 4 jam pada suhu reaksi 750 °C dengan tekanan gas yang sama. Penimbangan berat kernel  $\text{UO}_2$  hasil reaksi dilakukan sehingga dapat ditentukan harga  $X_b$  berdasarkan perbedaan berat kernel  $\text{U}_3\text{O}_8$  dan berat kernel  $\text{UO}_2$  terhadap berat kernel  $\text{U}_3\text{O}_8$ . Selanjutnya, harga  $D_b$ ,  $R_o$ ,  $b$ ,  $t$ ,  $X_b$  dan  $C_g$  yang telah diketahui dimasukkan ke dalam persamaan (9). Dari grafik perubahan suhu (1/T) sebagai sumbu-X versus  $\ln [D_b R_o \{1 - (1 - X_b)^{1/3}\} / (b t C_g)]$  sebagai sumbu-Y, diperoleh persamaan garis lurus. Harga energi aktivasi minimum ditentukan dari koefisien arah garis lurus tersebut. Konstanta laju reaksi diperoleh menggunakan persamaan (6) dan (7). Rasio O/U dihitung menggunakan metode gravimetri berdasarkan persamaan (15). Bentuk morfologi mikroskopis diamati menggunakan mikroskop optik (MO) pada pembesaran 50×, sedangkan struktur permukaan menggunakan spektroskopis SEM pada pembesaran 1000×.

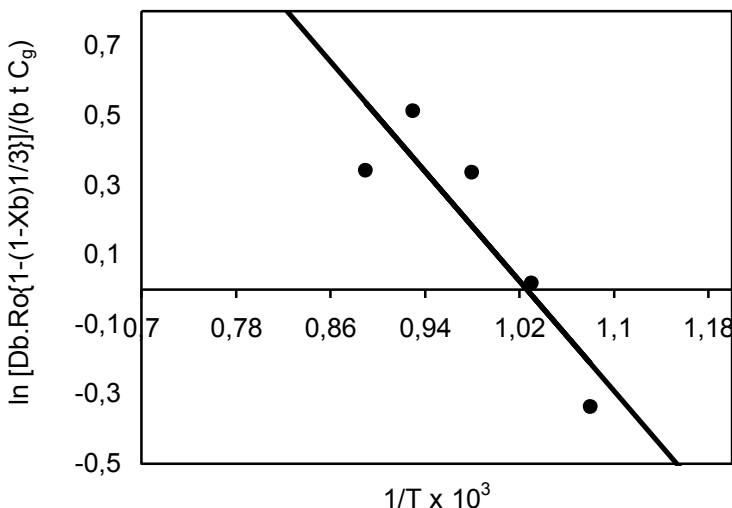
## IV. HASIL DAN PEMBAHASAN

Pada Tabel 1 ditunjukkan hasil percobaan dan hasil analisis reaksi antara kernel  $\text{U}_3\text{O}_8$  sebagai fasa padat dengan gas  $\text{H}_2$  pada suhu 650 – 850 °C atau 923 – 1123 K dan tekanan sebesar 50 mmHg selama 3 jam. Kernel  $\text{U}_3\text{O}_8$  yang digunakan mempunyai densitas ( $D_o$ ) sebesar 6,16 g/ml, jari-jari butiran ( $R_o$ ) sebesar 1,294 cm dan diameter pori sebesar 0,46  $\mu\text{m}$ . Pada diameter pori tersebut gas  $\text{H}_2$  dapat berdifusi dan masuk ke dalam padatan sehingga reaksi antara gas  $\text{H}_2$  dengan molekul  $\text{U}_3\text{O}_8$  dapat berlangsung sempurna. Dari substitusi harga besaran-besaran yang telah diketahui ke dalam persamaan (6) – (12) diperoleh hasil yang ditampilkan pada Tabel 1. Hasil analisis tersebut digunakan sebagai data pendukung untuk menentukan besar energi aktivasi minimum dan konstanta laju reaksi.

Tabel 1. Hasil percobaan dan analisis reaksi kernel  $\text{U}_3\text{O}_8$  dengan gas  $\text{H}_2$  dalam media gas  $\text{N}_2$  pada suhu 650 – 850 °C dan tekanan 50 mmHg selama 3 jam

Suhu (K)	1/T	$m_o$ (g)	$m_t$ (g)	$C_g$ (mol/cm <sup>3</sup> )	$X_b$	$\ln [D_b R_o \{1 - (1 - X_b)^{1/3}\} / (b t C_g)]$
923	1,080	6,275	6,118	$8,693 \times 10^{-7}$	0,0249	- 0,336
973	1,030	6,115	5,909	$8,214 \times 10^{-7}$	0,0336	0,018
1023	0,980	6,683	6,390	$7,813 \times 10^{-7}$	0,0438	0,337
1073	0,930	5,490	5,217	$7,449 \times 10^{-7}$	0,0497	0,513
1123	0,890	6,794	6,521	$7,117 \times 10^{-7}$	0,0402	0,343

Energi aktivasi minimum ( $\Delta E$ ) yang dibutuhkan pada reaksi antara kernel U<sub>3</sub>O<sub>8</sub> dengan gas H<sub>2</sub> dalam media gas N<sub>2</sub> di dalam reduktor dapat ditentukan dengan menggambarkan fungsi 1/T pada sumbu-X versus fungsi  $\ln [D_b R_o \{1 - (1 - X_b)^{1/3}\} / (b t C_g)]$  pada sumbu-Y. Kurva fungsi ini dapat dilihat pada Gambar 1. Dari kurva tersebut diperoleh persamaan garis lurus,  $Y = -3,9406 X + 4,044$  dengan koefisien regresi = 0,882. Setelah dikonversi ke dalam persamaan (8), dihasilkan persamaan garis lurus  $\ln [D_b R_o \{1 - (1 - X_b)^{1/3}\} / (b t C_g)] = -3,9406 \times 10^3 / T + 4,044$ . Pada Gambar 1 tampak bahwa garis lurus tersebut mempunyai koefisien arah  $\mu = -3,9406 \times 10^3$  dan intersep  $Q = 4,044$ . Sedangkan perubahan koefisien molaritas molekul yang bereaksi dan hasil reaksi sebesar 2. Dari sini dapat ditentukan harga energi aktivasi minimum,  $\Delta E = -(-3,9406 \times 10^3) \times 1,985 \times 2 \text{ kal/mol} = +15,644 \text{ kkal/mol}$  dan harga  $A = e^{4,044 \times 2} \text{ jam}^{-1} = 3,26 \times 10^3 \text{ jam}^{-1}$ , dimana harga energi aktivasi minimum ini mirip dengan energi aktivasi minimum pada reaksi antara serbuk U<sub>3</sub>O<sub>8</sub> dengan gas H<sub>2</sub> pada suhu 600 – 800 °C dan tekanan 50 mmHg, yaitu sebesar 15,2 – 17,4 kkal/mol<sup>[11]</sup>. Energi aktivasi minimum ini mempunyai harga positif, yang berarti reaksi antara U<sub>3</sub>O<sub>8</sub> dengan gas H<sub>2</sub> dalam medium gas N<sub>2</sub> di dalam reduktor bersifat endotermik. Oleh karena itu, dibutuhkan energi aktivasi minimum terkait untuk mengatasi hambatan eksternal sebesar  $3,26 \times 10^3 \text{ jam}^{-1}$  agar reaksi dapat berlangsung.

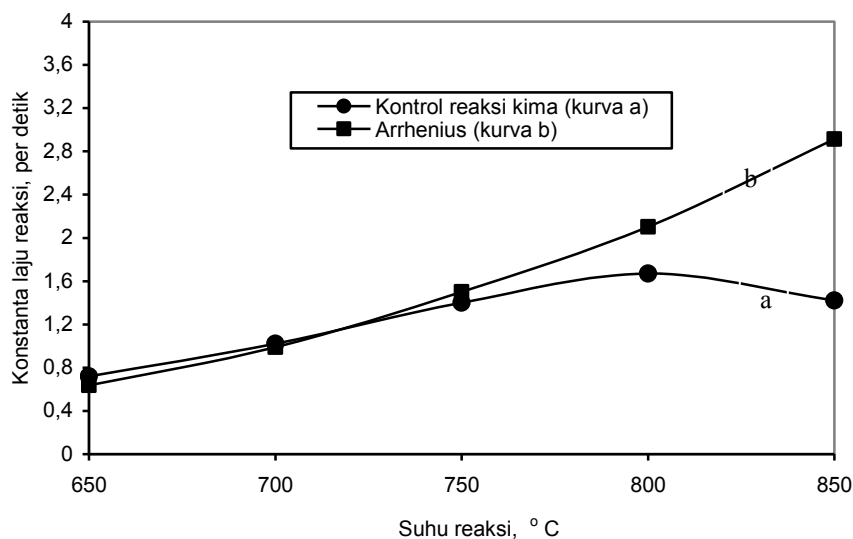


Gambar 1. Kurva hubungan antara perubahan  $\ln [D_b R_o \{1 - (1 - X_b)^{1/3}\} / (b t C_g)]$  dengan

Pada Gambar 2 ditunjukkan pengaruh perubahan suhu reaksi terhadap perubahan konstanta laju reaksi. Analisis konstanta laju reaksi pada reaksi kernel U<sub>3</sub>O<sub>8</sub> dengan gas H<sub>2</sub> dalam media gas N<sub>2</sub> pada suhu 650 – 850 °C dan tekanan 50 mmHg selama 3 jam pada Gambar 2 kurva a menggunakan persamaan (6), laju reaksinya naik dari 0,78 sampai 1,67 det<sup>-1</sup>, kemudian pada suhu 850 °C turun kembali menjadi 1,41 det<sup>-1</sup>. Hal ini menunjukkan bahwa pada suhu lebih tinggi terjadi proses *sintering* dan dekristalisasi dalam padatan. Pada proses

sintering ini terjadi dua kemungkinan. Pertama, terjadi peleburan padatan sehingga oksigen yang terdapat di dalam padatan bereaksi dengan gas H<sub>2</sub> membentuk molekul H<sub>2</sub>O. Akibatnya kemampuan gas H<sub>2</sub> untuk mereduksi molekul oksida uranium berkurang sehingga konstanta laju reaksi menjadi kecil. Kedua, terjadi penyusutan pori-pori padatan sehingga absorpsi gas H<sub>2</sub> ke dalam padatan berkurang, proses reduksi tidak sempurna sehingga konstanta laju reaksi menjadi kecil<sup>[11]</sup>. Analisis konstanta laju reaksi dengan menggunakan persamaan (7) pada Gambar 2 kurva b, secara teoritis menunjukkan bahwa suhu reaksi sangat berpengaruh pada konstanta laju reaksi. Semakin besar suhu reaksi semakin besar konstanta laju reaksi antara kernel U<sub>3</sub>O<sub>8</sub> dengan gas H<sub>2</sub> pada kondisi yang sama.

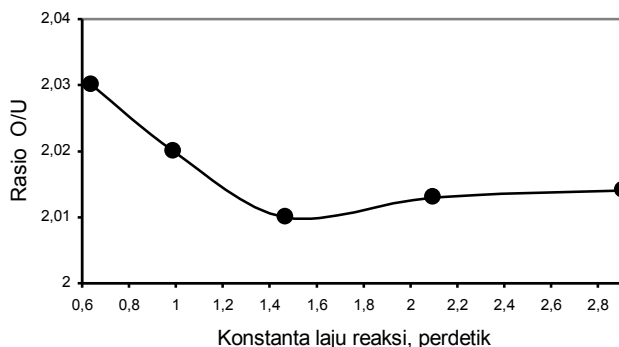
Konstanta laju reaksi pada suhu 650 – 850 °C sebesar 0,610 – 2,812 det<sup>-1</sup>, tetapi perubahan konstanta laju reaksi ini membentuk garis lengkung dengan titik belok pada suhu 750 °C sebagai titik ekivalen kedua konstanta laju reaksi tersebut. Besarnya perbedaan harga kedua konstanta laju reaksi pada suhu 650 – 750 °C sebesar 2,95 – 17,81% dan pada suhu 750 – 850 °C sebesar 20,17 – 53,57%, sedangkan konstanta laju reaksi pada suhu 750 °C (titik ekivalen) sebesar 1,43 det<sup>-1</sup> dengan perbedaan sebesar 4,57%. Perubahan konstanta laju reaksi ini dapat mempengaruhi besar rasio O/U kernel UO<sub>2</sub> hasil reaksi.



Gambar 2. Pengaruh perubahan suhu reaksi antara kernel U<sub>3</sub>O<sub>8</sub> dengan gas H<sub>2</sub> pada tekanan 50 mmHg selama 3 jam terhadap perubahan konstanta laju reaksi

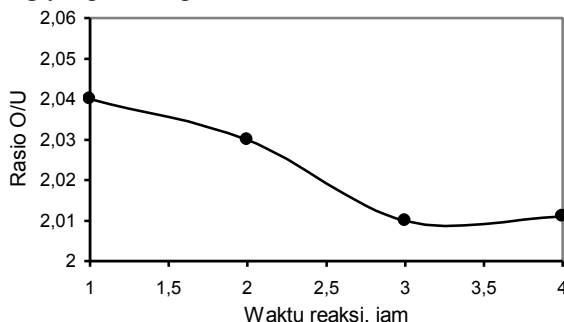
Pada Gambar 3 ditunjukkan pengaruh konstanta laju reaksi terhadap perubahan rasio O/U kernel UO<sub>2</sub> hasil reaksi. Pada Gambar 3 dapat dilihat perubahan konstanta laju reaksi antara kernel U<sub>3</sub>O<sub>8</sub> dengan gas H<sub>2</sub> pada suhu 650 – 850 °C dan tekanan 50 mmHg selama 3 jam dengan energi aktivasi sebesar +15,644 kkal/mol berpengaruh pada rasio O/U kernel UO<sub>2</sub>. Semakin besar suhu reaksi, semakin besar konstanta laju reaksi dan semakin kecil rasio O/U kernel UO<sub>2</sub> hasil reaksi. Dari hasil analisis perubahan konstanta laju reaksi menggunakan persamaan Arrhenius di atas (Gambar 2 kurva b), pada suhu antara 650 – 750 °C terjadi penurunan rasio O/U kernel UO<sub>2</sub> dari 2,03 menjadi 2,01. Pada konstanta laju reaksi sebesar

1,43  $\text{det}^{-1}$  pada suhu 750 °C (titik ekivalen), rasio O/U kernel UO<sub>2</sub> sebesar 2,01 mendekati rasio O/U stokimetri 2. Maka kondisi ini dianggap sebagai kondisi optimum untuk reaksi antara kernel U<sub>3</sub>O<sub>8</sub> dengan gas H<sub>2</sub>. Sedangkan pada suhu 750 – 850 °C terjadi sedikit kenaikan rasio O/U dari 2,01 menjadi 2,014 dengan perubahan sebesar 0,15 – 0,20%. Hal ini menunjukkan pada kondisi ini terjadi proses *sintering* yang diikuti perubahan struktur molekul pada oksida uranium.



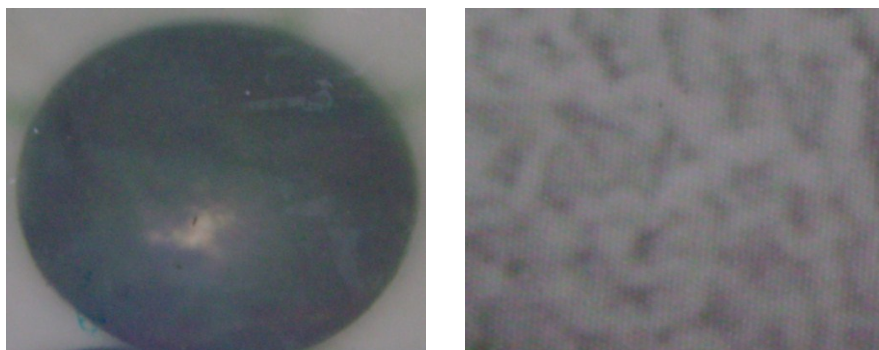
Gambar 3. Pengaruh konstanta laju reaksi terhadap perubahan rasio O/U kernel UO<sub>2</sub>

Pada Gambar 4 ditunjukkan pengaruh perubahan waktu reaksi antara kernel U<sub>3</sub>O<sub>8</sub> dengan gas H<sub>2</sub> pada suhu 750 °C dan tekanan 50 mmHg terhadap perubahan rasio O/U kernel UO<sub>2</sub> hasil reaksi. Pada kondisi ini, energi aktivasi minimum sebesar +15,746 kkal/mol dan konstanta laju reaksi 1,43  $\text{det}^{-1}$  untuk mengatasi rintangan eksternal dan menghasilkan kernel UO<sub>2</sub>. Untuk waktu reaksi 1 – 2 jam, waktu kontak antara kernel U<sub>3</sub>O<sub>8</sub> dengan gas H<sub>2</sub> belum sempurna sehingga kernel UO<sub>2</sub> yang dihasilkan mempunyai rasio O/U lebih besar dari 2. Untuk waktu reaksi 3 jam, waktu kontak antara kernel U<sub>3</sub>O<sub>8</sub> dengan gas H<sub>2</sub> relatif sempurna menghasilkan kernel UO<sub>2</sub> yang mempunyai rasio O/U sebesar 2,01 mendekati rasio O/U stokimetri 2 seperti di atas. Sedangkan untuk waktu reaksi 3 – 4 jam, waktu kontak antara kernel U<sub>3</sub>O<sub>8</sub> dengan gas H<sub>2</sub> relatif lama dan terjadi kenaikan nisbah O/U dari 2,01 menjadi 2,014. Hal ini menunjukkan bahwa pada reaksi antara kernel U<sub>3</sub>O<sub>8</sub> dengan gas H<sub>2</sub> juga terjadi proses *sintering* yang diikuti perubahan struktur molekul uranium oksida.

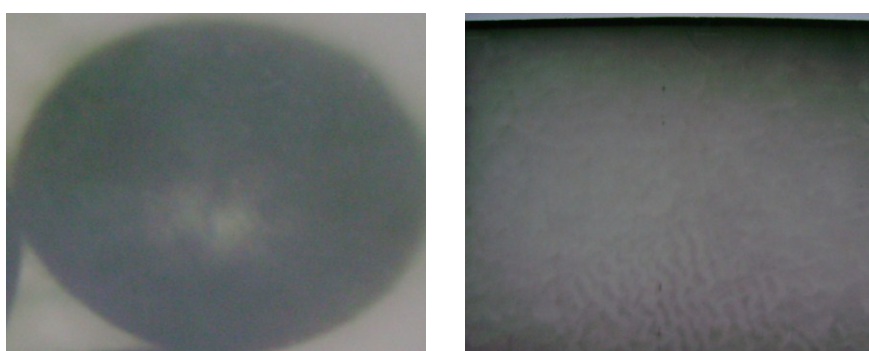


Gambar 4. Pengaruh waktu reaksi kernel U<sub>3</sub>O<sub>8</sub> dengan gas H<sub>2</sub> pada suhu 750 °C dan tekanan 50 mmHg terhadap perubahan rasio O/U kernel UO<sub>2</sub>

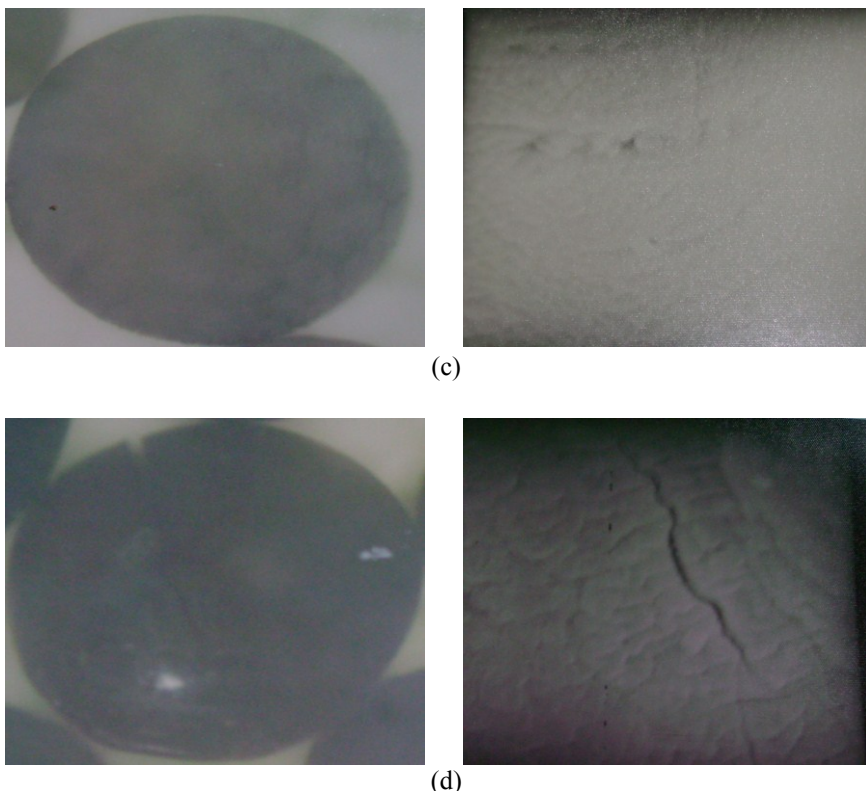
Pada Gambar 5 ditunjukkan bentuk morfologi dan struktur permukaan mikroskopis kernel  $\text{UO}_2$  hasil reaksi antara kernel  $\text{U}_3\text{O}_8$  dengan gas  $\text{H}_2$  pada suhu 700, 750, 800 dan 850 °C, dan tekanan 50 mmHg selama 3 jam dengan energi aktivasi minimum sebesar 15,644 kkal/mol. Bentuk morfologi mikroskopis butiran tersebut diamati menggunakan mikroskop optik pada pembesaran 50× dan struktur permukaan diamati menggunakan spektroskopis SEM dengan pembesaran 1000×<sup>[12]</sup>. Bentuk morfologi mikroskopis dan struktur permukaan kernel  $\text{UO}_2$  sangat bervariasi. Bentuk morfologi kernel  $\text{UO}_2$  hasil reaksi pada suhu 700 dan 750 °C adalah bulat dengan struktur permukaan yang halus. Hal ini menunjukkan bahwa pada reaksi tersebut gas  $\text{H}_2$  dapat berdifusi dengan mudah ke dalam kernel  $\text{U}_3\text{O}_8$  melalui pori-pori dengan diameter sebesar 0,46  $\mu\text{m}$ , kemudian bereaksi dengan atom oksigen menghasilkan kernel  $\text{UO}_{2,01}$  dengan konstanta laju reaksi rata-rata sebesar 1,43  $\text{det}^{-1}$ . Pada suhu 800 dan 850 °C terjadi perubahan struktur kristal butiran yang diikuti perubahan struktur molekul uranium oksida dengan menghasilkan kernel  $\text{UO}_{2+x}$  dimana harga  $x = 0,013 – 0,014$ . Bentuk butiran bulat tetapi terdapat sedikit retakan. Retakan struktur permukaan pada suhu 850 °C lebih besar dari retakan pada suhu 800 °C.



(a)



(b)



Gambar 5. Bentuk morfologi dan struktur permukaan mikroskopis butiran kernel UO<sub>2</sub> hasil reaksi antara kernel U<sub>3</sub>O<sub>8</sub> dengan gas H<sub>2</sub> dalam media N<sub>2</sub> pada suhu (a) 700 °C, (b) 750 °C, (c) 800 °C dan (d) 850 °C pada tekanan 50 mmHg selama 3 jam. Pembesaran 1000×.

## V. KESIMPULAN

Dari hasil penelitian dapat disimpulkan:

1. Reaksi antara kernel U<sub>3</sub>O<sub>8</sub> dengan gas H<sub>2</sub> dalam media gas N<sub>2</sub> di dalam reduktor pada suhu 650 – 850 °C dan tekanan 50 mmHg selama 3 jam mempunyai energi aktivasi minimum ( $\Delta E$ ) sebesar 15,746 kkal/mol.
2. Energi aktivasi minimum ini berpengaruh pada perubahan konstanta laju reaksi dan rasio O/U. Kondisi suhu reaksi relatif baik pada suhu 750 °C dengan konstanta laju reaksi sebesar 1,43  $\text{det}^{-1}$  dan rasio O/U kernel UO<sub>2</sub> sebesar 2,01.
3. Waktu reaksi antara kernel U<sub>3</sub>O<sub>8</sub> dengan gas H<sub>2</sub> dalam media gas N<sub>2</sub> pada suhu 750 °C dan tekanan 50 mmHg relatif baik yakni 3 jam, dan menghasilkan kernel UO<sub>2</sub> yang mempunyai rasio O/U sebesar 2,01.
4. Bentuk morfologi mikroskopis kernel UO<sub>2</sub> hasil reaksi adalah bulat dengan permukaan halus merata dan tidak retak dengan pemanasan sampai suhu 750 °C.

## VI. UCAPAN TERIMA KASIH

Ucapan terima kasih disampaikan kepada saudara Yusup Fahrudi, mahasiswa Teknik Fisika UGM dan para staf TPBB PTAPB-BATAN yang telah banyak membantu sampai penelitian ini dapat diselesaikan.

## VII. DAFTAR PUSTAKA

1. TANG,C., TANG, Y., ZHU, J., QI, X., LI, J., and XU, S., “Research and Development of Fuel Element for Chinese 10 MW High Temperature Gas-cooled Reactor”, *J. of Nuclear Science and Technology*, Vol.37, No.9, 2000, pp.802-806.
2. BREY, I., FAKUDA, K., HARSON, D.L., MOMAN, .R., and KHOULRV, A., “Fuel Performance and Fission Product Behavior in Gas-cooled Reactor”, *IAEA-TECDOC-987*, International Atomic Energy Agency, Vienna, 1997, pp.1-10.
3. NAKA, M.A., and TAKEO, F., “Thermodynamics of  $UO_{2+x}$ ”, *J. of Nuclear Materials*, Vol.167, 1987, pp.36-46.
4. HARDING, J.H., MASRI, P., and STONEHAM, A.M., “Thermodynamic Properties of Uranium Dioxide: Electronic Contributions to the Specific Heat”, *J. of Nuclear Materials*, Vol.92, 1980, pp.73-78.
5. HYLAND,G.J., and JEFFREY, R., “Estimate of Enthalpy Contributions from Frakel, High Temperature – High Pressure”, Vol.17, 1985, pp.653-664.
6. YUSUP FAHRUDI., “Pengaruh Suhu dan Waktu Reduksi Kernel  $U_3O_8$  terhadap Kualitas Kernel  $UO_2$ ”, Skripsi Program S-1 Teknik Nuklir, Jurusan Teknik Fisika, Fakultas Teknik UGM, Yogyakarta, 2006.
7. TJIPTO UTOMO, “Teori Dasar Fenomena Transfer (Perpindahan Panas/Energi)”, Bina Cipta , ITB, 1983, pp.84-153.
8. TANFORD, C.H., “Physical Chemistry of Macromolecules”, 3<sup>rd</sup> ed., John Wesley & Sons, New York, 1961, pp.180-210.
9. SHARKEY, R.W, “Analytical Procedure, Methods and Seals used at Model Facility”, Basic Analytical Steps similar to ASTM C 696 par.16-22, 1997, pp.1-2.
10. GALKIN, N.P., and SUDARIKOV, B.N., “Technology of Uranium”, Israel Program from Scientific Translation, Jerussalem, 1966, pp.238-267.
11. ALAKRISHNA, P., VARMA, B.P., KRISNAN, T.S., MOHAN, T.R.R., and RAMAKRISHNAN, P., “The Role of Point Defects in Sintering  $UO_2$  and  $ThO_2$ ”, *Transactions of the PMI*, Vol.13, 1986, pp.117-125.
12. GABREL, B., “SEM: A User’s Manual for Materials Science”, American Society for Metals, 3<sup>rd</sup> ed., USA, 1992, pp.81-131.